



ارائه شده توسط :

سایت ترجمه فا

مرجع جدیدترین مقالات ترجمه شده

از نشریات معابر

تهیه ذرات کاتالیستی PtAu بر روی الکترود مثبت باتری لیتیم / هوا با

استفاده از آبکاری پالسی

چکیده:

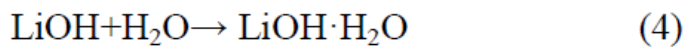
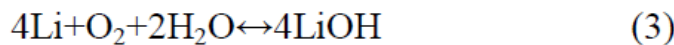
برای کاهش استفاده از فلزات گرانبها بر روی الکترود هوا، تکنولوژی آبکاری پالسی برای آماده سازی کاتالیزور PtAu استفاده شد. با آزمون ولتاژ‌گرامهای چرخه‌ای (CV)، میکروسکوپ الکترونی روبشی (SEM) و انرژی طیف سنج انتشاری (EDS)، فرآیند ترکیب بندی و گواهی حمام بهینه سازی شده، تعیین شد به این شرح: چگالی HAuCl₄ of 13.3 mmol/L, H₂PtCl₆ of 6.7 mmol/L, H₂SO₄ of 0.5 mol/L چگالی جریان پیک ۱ kHz و فرکانس ۵٪، عرض پالس mA/cm² 2100 کاتالیزورهای PtAu که تحت فرآیند بهینه سازی شده آماده شدند، بر روی الکترود هوا به طور یکنواخت با اندازه ذرات nm 200 ~ 300 توزیع شده و ظرفیت ویژه‌ی تخلیه باتری لیتیم / هوا تا رسیدن به 1300 mAh / gcarbon + PVDF می‌شود که بیش از دو برابر بدون کاتالیزور آن بود.

مقدمه:

باتری‌های لیتیم / هوا انتخابی ممکن با چگالی انرژی بالا برای پاسخگویی به نیاز انتقال برق گرفتگی طولانی در بازه زمانی است. در مقایسه با سلول‌های لیتیوم یون خودرویی امروزیدر محدوده رانندگی که تقریباً 110 کیلومتر برای یک بسته 200 کیلوگرمی محدود شده است، باتری‌های لیتیم / هوا می‌توانند محدوده رانندگی الکتریکی 610 کیلومتری با یک بار شارژ فراهم کنند که یک مقدار نزدیک به خودروی بنزینی پودری است. [1] با این حال، چالش‌های متعددی برای مغلوب کردن قبل از تجاری کردن باتری‌های لیتیم / هوا نیاز دارد. واکنش‌های ممکن درگیر کردن لیتیم و اکسیژن به محیط شیمیایی و نحوه عمل بستگی دارد، که مقادیر مختلف انرژی ویژه و چگالی انرژی باتری‌ها را سبب می‌شود. در باتری‌های لیتیم / هوا غیرآلی، دو واکنش الکترود اصلی وجود دارد:



ابراهیم و همکاران از اولین کسانی بودند که چنین سلول های لیتیم / هوا غیرآبی موفقی را گزارش کردند. [2] کاهش کامل اکسیژن به Li_2O مطلوب است که به دلیل انرژی خاص بالاتر آن (1794 mAh/g) است، اما به نظر می رسد که Li_2O_2 با انرژی ویژه پایین تر (1168 mAh/g) یک محصول است که به راحتی بیش از Li_2O شکل میگیرد. [3] در یک محیط آبی، واکنش های مربوط به لیتیم و O_2 به مقدار pH بستگی دارد. در کاهش O_2 محلول آبی اساسی از جمله نتایج H_2O در شکل گیری LiOH · H_2O نامحلول است که بستگی به غلظت LiOH دارد. [4]



واکنش کاهش اکسیژن (ORR) در طول واکنش تخلیه و واکنش سنجش اکسیژن (OER) در هنگام شارژ بر الکترود هوای متخلخل به سستی در لیتیم حاوی الکترولیت های اپروتیک بدون کاتالیزور قرار گرفته است [5]. که خواص باتری لیتیم / هوا به طور قابل توجهی موثر است. به منظور افزایش ظرفیت ویژه و کاهش ولتاژ بار باتری هوا / لیتیم ، برای سرعت بخشیدن به ORR و OER باید کاتالیزور استفاده شود . [6] فعالیت و پایداری کاتالیزوری بسیار عالی در الکترولیت الزامات مورد نیاز برای کاتالیزور ORR و OER هستند. فلزات نجیب و آلیاژها [7] و اکسید فلزات واسطه [8، 9] به عنوان کاتالیزور بر روی الکترود هوا در گزارش های منتشر شده استفاده شد. دبارت و همکاران اثر چندین کاتالیزور بر خواص باتری های لیتیوم / هوا مورد مطالعه قرار دادند و متوجه شد که کاتالیزور اثر کمی بر ولتاژ تخلیه، اما اثر قابل توجهی بر ظرفیتهای ویژه، ولتاژهای بار و خواص چرخه ای دارد.

کاتالیزورها تشکیل شده توسط نانو ذرات برای ORR و OER بهتر است با توجه به مساحت سطح بزرگ خود نسبت به نوع بالک آنها . [10] با استفاده از نانوسیم کاتالیزور α -MnO₂ ، ظرفیت سلول لیتیم/هوا به 3000mAh / g از کربن می رسد . در این کار از لو و همکارانش [11]، مخلوط نانو ذرات طلا-پلاتین در مواد فعال الکترود کاتالیزورهای دو عملکردی موفقی هستند که در آن ذرات طلا و ذرات پلاتین به ترتیب ORR و OER هدفگیری شدند . نانو ذرات Au-Pt بالاترین بهره وری رفت و برگشت از ~ 77٪ تاکنون نشان می دهد و دوباره جلب توجه با وجود هزینه های بالای فلزات گرانبهای کرده است.

در مقایسه با کاتالیزور مخلوط شده در دوغاب، تکنولوژی آبکاری پالسی [12] می تواند کاتالیزور فلزی سایز کوچک به اندازه وبا ضخامت کنترل شده در الکترودها آمده کند . در این مقاله، بررسی اثر پارامترهای آبکاری پالسی و ترکیب بندی حمام بر روی خواص کاتالیزوری ذرات PtAu در الکترودهای کربن مطالعه قرار گرفت.

2. تجربی

2.1 پالس الکتریکی ذرات

0.75 گرم از پلی فلوراید (PVDF, AR) ، در 3.0 گرم از N-methyl pyrrolidone (NMP, AR) حل می شود. 0.5 گرم از استیلن سیاه به مخلوط PVDF / NMP اضافه شده و توسط یک روتور مغناطیسی برای 12 ساعت مخلوط شد . الکترود هوا متخلخل به عنوان کاتدهایی استفاده شدند که با بارگذاری مخلوط (دوغاب) (thickness of 1.8 mm, Changsha Liyuan new Carbon/PVDF/NMP 0.5 میلی مول بر لیتر، H2PtCl₆ 6.7 میلی مول بر لیتر و سپس به مدت 12 ساعت خشک می شود آماده شدند . یک بشقاب طلا به عنوان آند استفاده شده است . حمام های 50 °C شامل HAuCl₄ حدود 6.7 الی 13.3 میلی مول بر لیتر، آبکاری پالسی 60 ثانیه برای حدود 6.7 الی 13.3 میلی مول بر لیتر و سولفوریک اسید 0.5 میلی مول بر لیتر . آبکاری پالسی (DMC-30M, Shenzhen Yuanshunda Electronic

با پارامترهای تنظیم به عنوان چگالی جریان پیک $250\text{MA} / \text{cm}^2$ و 100Hz ، عرض پالس از 30% انجام شد و فرکانس 1KHZ ~ 0.1 حمل شد.

2.2 مونتاژ سلول لیتیم/هوای سلول

سلول های سکه ای CR2025 با سوراخهایی به قطر 1mm ساخته در بالای پوشش به جمع آوری غیرآبی سلول های لیتیم/هوای در یک Glove box پر از آرگون استفاده شد. الکترود مثبت الکترود هوا متخلخل با یا بدون کاتالیزور PtAu بود. الکترود منفی برشهای دیسک لیتیم با قطر 14mm باشد. غشاهای پلی پروپیلن کاتالیزور Li-TFSI (thickness of $20\mu\text{m}$, Celgard) در یک الکترولیت مایع یونی آماده با اضافه کردن به مایعات EMI-TFSI و مهیج برای $8\text{H} \sim 6\text{Guotie}$ ور شد، و سپس در سلولها مونتاژ شد، که در آن TFSI به معنی تری فولورو متیل سولفونیل ایمید، EMI به معنی 1-متیل ایمیدازولیوم است.

3.2 اندازه گیری

پایداری کاتالیزور PtAu توسط ولتاوی چرخه ای (CV) اندازه گیری با استفاده از یک تحلیل گر الکتروشیمیایی (CHI630B, CH Instruments) در سرعت اسکن از $10\text{mV} / \text{s}$ در محلول های آبی KOH / L که با اکسیژن 20 دقیقه [13] هوادهی شد مشخص شد.

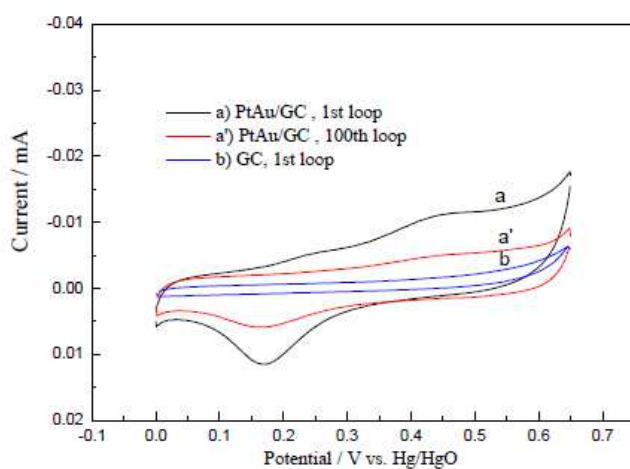
پوشش آلیاژ PtAu پالس الکتریستیه و در الکترودهای شیشه کربن (GC) (geometric area: 0.2 cm^2) (Hg/HgO) به، که به عنوان الکترود کار مورد استفاده قرار گرفت. الکترود $\alpha\text{-Al}_2\text{O}_3$ $1.5\mu\text{m}$ و صفحه پلاتین یک سانتی متر مربعی به ترتیب الکترود مرجع و الکترود شمارنده بودند. مورفولوژی ها و ترکیب کاتالیزور PtAu توسط میکروسکوپ الکترونی اسکن (SEM) و انرژی پراکنده اشعه ایکس (EDX) اندازه گیری شد. رفتار شارژ و دشارژ سلول های لیتیم/هوای اتمسفر هوا با استفاده از سیستم تست باتری Neware CT-

در مراحل جریان ثابت (CC) 0.05 آمپر cm^2 / در محدوده ولتاژ از $\sim 1.8V$ ~ $4.0V$ در مقابل Li/Li^+ در دمای محیط $(25 \pm 2)^\circ C$. مورد آزمایش قرار گرفتند

3. نتایج و بحث

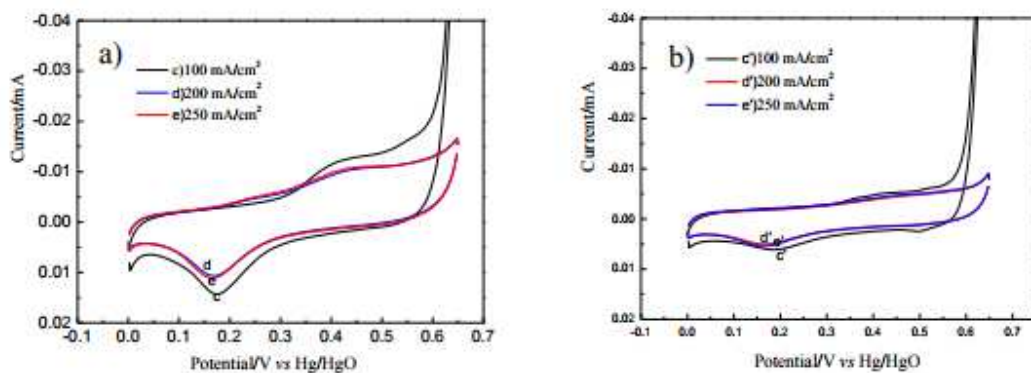
1...3 اثر پارامترهای آبکاری پالسی در خواص کاتالیزوری از ذرات PtAu

الکترودهای GC جلا شده داده با سطوح یکسان به عنوان سوبسترا به منظور بررسی اثر پارامترهای آبکاری پالسی در فعالیت های کاتالیزوری کاتالیزور PtAu استفاده شد. همانطور که در شکل 1a نشان داده شده است، موج بزرگ در مورد $0.17V$ (در مقابل Hg/HgO ، همان زیر) در طول اسکن در جهت منفی نشان می دهد که کاهش اکسیژن جذبی یا اکسید، و افزایش جریان از $0.35V$ ولت تا $0.7V$ ولت تکامل اکسیژن در طول اسکن جهت مثبت را نشان می دهد. [14] جریان پیک $0.006mA$ در $0.17V$ در شکل 1a، کمتر از $0.011mA$ در شکل 1a است، که نشان می دهد فعالیت و پایداری ذرات کاتالیزور PtAu پس از استفاده طولانی کاهش می یابد. با این حال، امواج مشابه در شکل 1c وجود ندارد، که نشان می دهد پوشش PtAu دارای فعالیت کاتالیزوری واضح در اکسیژن و GC روی سنجش کاتالیزور اثری نداشت.



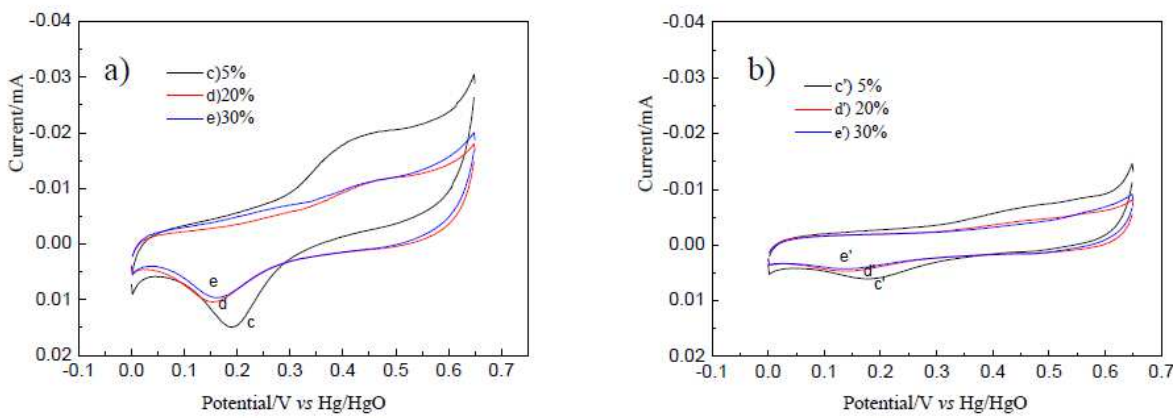
شکل 1a) اولین و صدمین حلقه CV پالسی پوششی PtAu نشسته بر روی الکترودهای GC از یک حمام حاوی 10 میلی مول بر لیتر، 10 H₂PtCl₆ 0.5 مول بر لیتر و 0.5 H₂SO₄ مول در دانسیته جریان پیک 150 میلی آمپر بر سانتی متر مربع . عرض پالس 10 درصد و فرکанс 100 Hz، و b) اولین حلقه الکترودهای GC در محلول 1 KOH 1 مول بر لیتر اشباع O₂ در CV

همانطور که در شکل 2a، نشان داده شده است با افزایش چگالی های جریان پیک از 100 تا 250 میلی آمپر بر سانتی متر مربع، مقادیر جریان پیک در حدود 0.17 ولت از 0.014 میلی آمپر کاهش می یابد. سپس 100 بار گردش همانطور که در شکل 2b نشان داده شد، مقادیر جریان پیک در مورد 0.17 ولت نیز کاهش می یابد که در آن در 100 میلی آمپر نشسته، مقدار بزرگتر 0.06 میلی آمپر باقی می ماند. بدیهی است، فعالیت و پایداری پوششی در 100 میلی آمپر بر سانتی متر مربع به دست آمد که از بقیه بهتر است. شاید توسط نسبت اجزای سازنده و مورفولوژی مناسب پوششی PtAu به دست آمده در چگالی جریان پیک پایینتر تحت تاثیر قرار است.



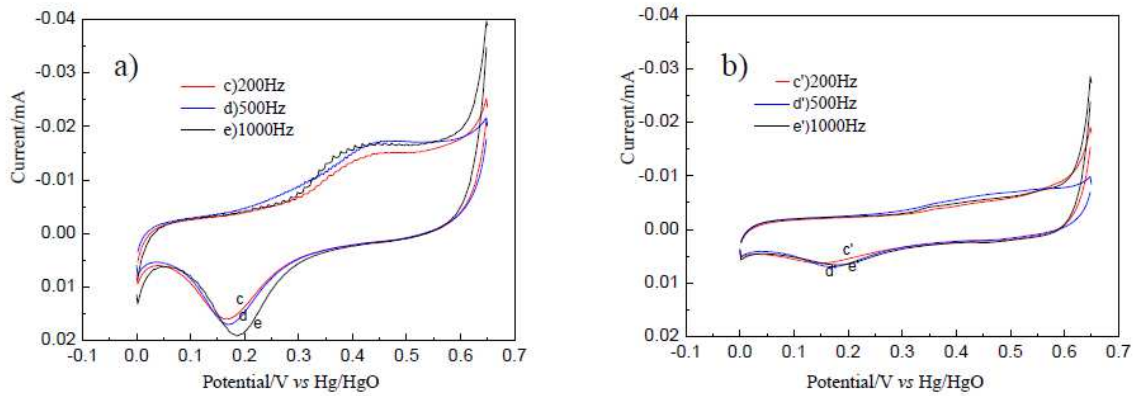
a) اولین b) صدمین حلقه CV پالسی پوششی PtAu از یک حمام حاوی 10 میلی مول بر لیتر، 10 H₂AuCl₄ میلی مول بر لیتر در دانسیته جریان پیک ، پهنهای پالس 10٪ و 100Hz فرکانس.

Fig.3 نشان می دهد که پوشش PtAu نشسته در عرض پالس سپرده 5٪ دارای پایداری و فعالیت کاتالیزوری بهتر، که جریان پیک در حدود 0.19V در اولین و صدمین حلقه، 0.015 میلی آمپر و 0.006 میلی آمپر است. عرض پالس یک درصد زمانی پالسی از تناوب پالسی کل.



شکل 3. در محلول O₂ اشباع 1 مول بر لیتر a) اولین CV پالسی پوششی PtAu از یک حمام حاوی 10 میلی مول بر لیتر HAuCl₄, 10 میلی مول مول بر لیتر H₂PtCl₆, 0.5 مول بر لیتر در چگالی جریان پیک 150 میلی آمپر بر سانتی متر مربع، عرض پالس مختلف و فرکанс 100 هرتز.

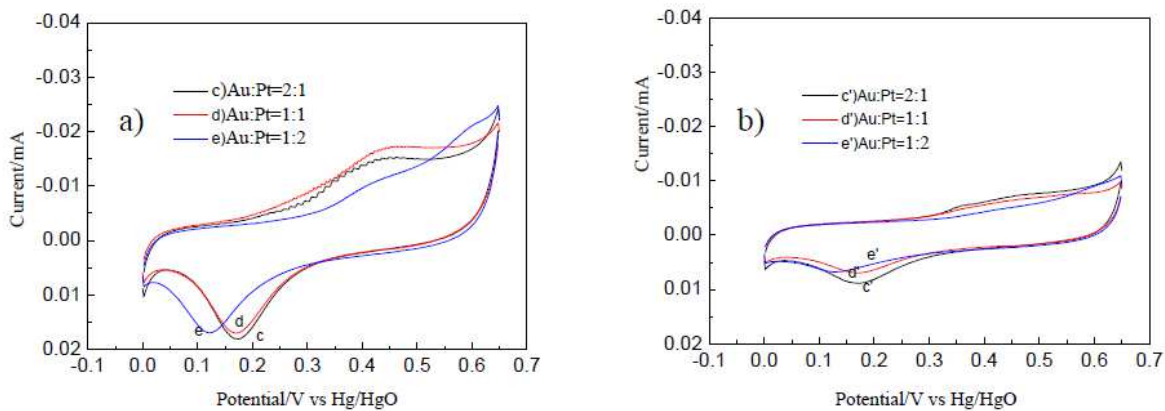
در یکمین حلقه CV نشان داده شده است، مقادیر جریان پیک در مورد 0.18V مناسب با فرکанс پالس هستند. فعالیتهای کاتالیزوری پوشش PtAu با فرکانس‌های پالسی بالا به طور قابل توجهی افزایش می یابد. هنگامی که پالس مکرر 1000Hz است، جریان پیک به 0.019 میلی آمپر در اولین حلقه CV می رسد. (Fig.4a-C) به طور کلی، فرکанс پالس بالا برای کاهش قطبش غلظتی و ریز دانه کریستال خوب است که مساحت سطح ویژه پوششی کاتالیست را افزایش می دهد و فعالیت کاتالیزوری بهبود می دهد. [15] بنابراین، یک فرکанс پالسی سریع تر برای نشستن پوشش کاتالیست با فعالیت های بالاتر بهتر است.



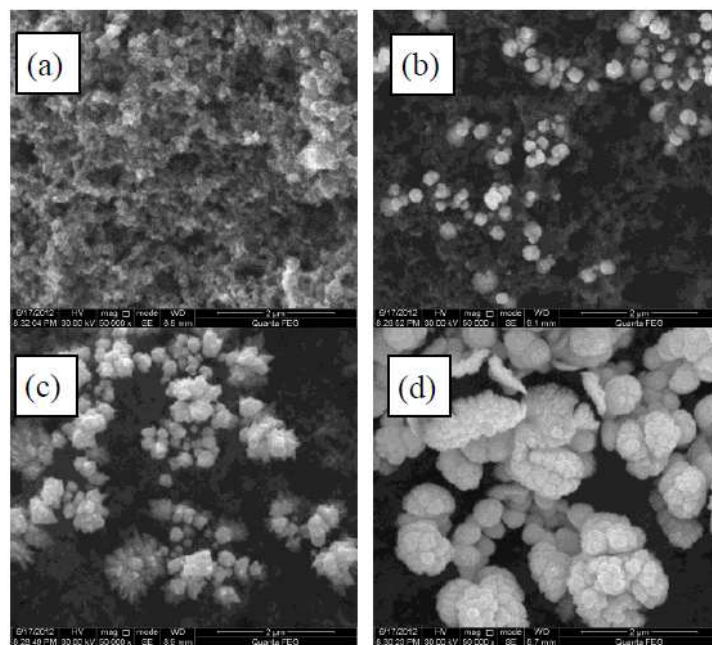
شکل 4. در محلول O_2 اشباع 1 مول بر لیتر a) صدمین حلقه CV پالسی پوششی از $PtAu$ (KOH: اولین b) یک حمام حاوی H_2PtCl_6 10 میلی مول بر لیتر، H_2SO_4 0.5 مول بر لیتر و فرکانس 150 میلی آمپر بر سانتی متر مربع، عرض پالس 10٪ و مختلف.

هنگامی که عرض پالس افزایش می یابد، مقدار مصرف شده ی یون های فلزی نیز افزایش می یابد. با این حال، یونهای فلزی به اندازه کافی زمان برای مهاجرت از محلول بالک به سطح الکترود، که یک قطبش غلظت بزرگتر و ذرات با اندازه بزرگتر را سبب می شود. [16] بنابراین، یک پالس عرض کوچکتر برای تشکیل و رشد ذرات اندازه کوچکتر بهتر است.

2.3 اثر ترکیب حمام بر خواص ذرات $PtAu$



شکل 5. در محلول O_2 اشباع 1 مول بر لیتر KOH: a) اولین CV پالسی پوششی PtAu در چگالی های جریان پیک 100 میلی آمپر بر سانتی متر مربع عرض پالس 5 % و فرکانس پالس یک کیلوهرتز از یک حمام حاوی c) و c' HAuCl_4 13.3 میلی مول بر لیتر، d) و d' H_2PtCl_6 6.7 میلی مول مول بر لیتر 10 HAuCl_4 میلی مول بر لیتر، e) و e' H_2PtCl_6 6.7 میلی مول بر لیتر، f) و f' HAuCl_4 13.3 میلی مول مول بر لیتر 0.5 H_2SO_4 مول بر لیتر 0.5 H_2SO_4 مول بر لیتر.



شکل 6. تصاویر SEM از الکترود هوا (a) بدون آبکاری پالسی، (b)، (c) و (d) آبکاری پالسی در چگالیهای جریان پیک 100 mA / cm² 13.3 میلی فرکانس پالس 5٪ و عرض پالس یک کیلوهرتز از حمام حاوی HAuCl₄ مول بر لیتر + 6.7 H₂PtCl₆ میلی مول بر لیتر + 0.5 H₂SO₄ مول بر لیتر + 0.5 HAuCl₄ میلی مول بر لیتر، و 10 H₂PtCl₆ مول بر لیتر + 0.5 H₂SO₄ مول بر لیتر + 0.5 H₂PtCl₆ میلی مول بر لیتر، به ترتیب.

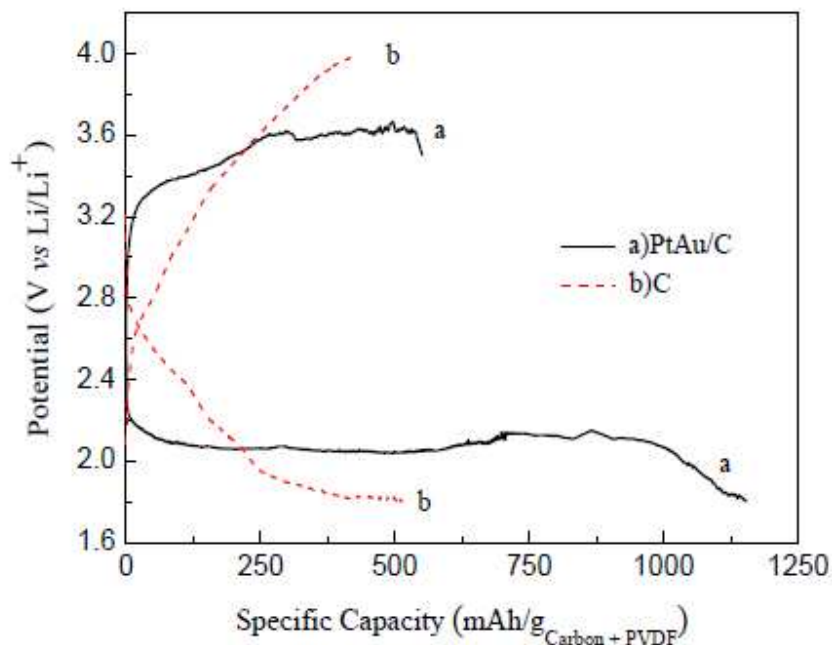
با نسبت غلظت HAuCl₄ و HPtCl₆ در تغییر حمام، مقادیر و موقعیت‌های جریان پیک مختلف می‌باشد. هنگامی که نسبت مولی طلا:پلاتین در حمام 1:2 است، پوشش PtAu بالاترین جریان پیک در Fig.5a و Fig.5b که به ترتیب 0.018 و 0.009 میلی آمپر هستند، نشان می‌دهد که با نسبت بالایی از طلا در حمام، فعالیت کاتالیزوری پوشش PtAu افزایش می‌یابد. همانطور که در Fig.6 نشان داده شده است، ترکیب حمام‌های مختلف نیز به مورفولوژی مختلف ذرات PtAu منجر می‌شود. در مقایسه با الکترود هوا بدون آبکاری پالسی (Fig.6a)، ذرات سفیدبا اشکال گوناگون در شکل 6b و 6d نشان داده شده است، کاتالیزور PtAu هستند. هنگامی که نسبت مولی طلا:پلاتین در حمام 1:1 می‌باشد، ذرات PtAu به طور یکنواخت روی الکترود هوا با کوچکترین اندازه یعنی ~ 300nm در نشستن 57:34 است، که تقریباً 1٪ است و با گزارش مرجع همسان است که آلیاژ 50٪ پلاتین-50٪ طلا دارای بهترین فعالیت کاتالیزوری است. [11]

3.3 شارژ / اموال تخلیه باتری‌های لیتیوم هوا

در مقایسه با سیکل اول منحنیهای شارژ / دشارژ باتری لیتیم/هوا با استفاده از الکترودهای هوای مختلف همتنظر که در شکل 6 نشان داده شده است، مشخص شده است که باتری لیتیم/هوا با استفاده از الکترود کربن با کاتالیست ذرات PtAu دارای عملکرد بهتر نسبت به بدون کاتالیزور آن است. تخلیه و شارژ سطوح باتری لیتیم/هوا با استفاده از الکترود کربن با ذرات کاتالیزور PtAu به ترتیب حدود 2.1 ولت (در مقابل Li/Li⁺، زیر همان) و

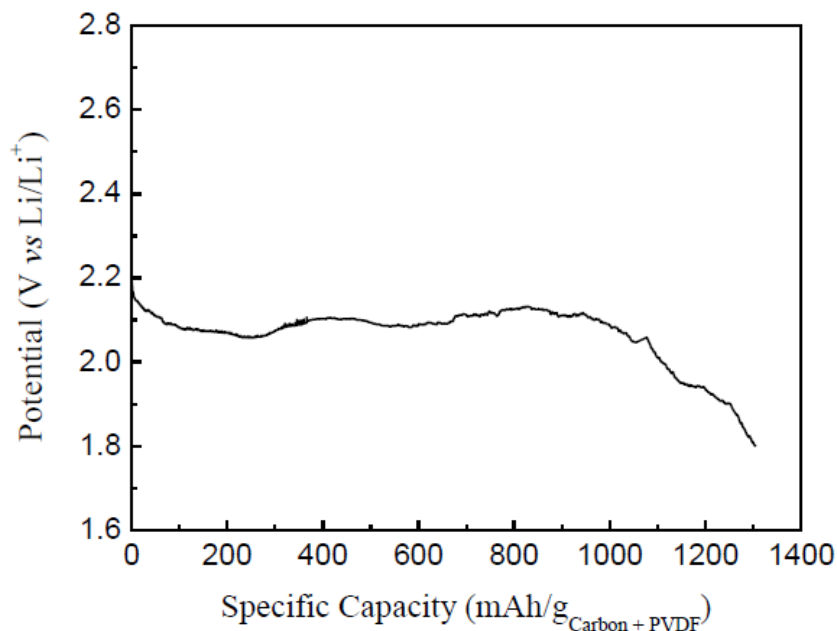
3.6 ولت هستند که در آن ولتاژهای تخلیه و شارژ سلول همه پایین تر از آن که در مراجع گزارش شده می باشند.^[11, 17] با این حال، باتری‌ایتیم/هوا با استفاده از الکترود کربن بدون کاتالیزور است تخلیه و شارژ واضحی ندارد. علاوه بر این، ظرفیت ویژه‌ی تخلیه باتری لیتیوم / هوا با استفاده از کاتالیزور PtAu¹¹⁵⁰ است که به وضوح بیشتر از آن است که به وسیله باتری لیتیم/هوا بدون کاتالیزور 520 mAh/gcarbon+PVDF از حمام حاوی HAuCl₄ of 13.3 mmol/L and H₂PtCl₆ of 6.7 mmol/L

ظرفیت ویژه تخلیه‌ی باتری لیتیم/هوا به 1300mAh/gcarbon+PVDF افزایش می‌یابد، که نشان می‌دهد کاتالیزوری بهتر است که با نتایج در بخش 3.2 همسان باشد.



شکل 7 . چرخه اول منحنی شارژ / دشارژ باتری لیتیم/هوا با استفاده از الکترود هوا کربن (a) بدون کاتالیزور و (b) با ذرات PtAu آبکاری پالسی شده در چگالیهای جریان پیک 100 میلی آمپر بر سانتی متر مربع، عرض پالس

۵٪ فرکانس پالس از ۱KHZ از حمام حاوی ۱۰ میلی مول بر لیتر HAuCl₄ و ۱۰ میلی مول بر لیتر H₂PtCl₆ و ۰.۵ مول بر لیتر H₂SO₄



شکل ۸. اولین منحنی تخلیه چرخه لی /باتری هوا با استفاده از کربن الکترود هوا با پالس PtAuparticles الکتریسیته و در چگالی جریان پیک از ۱۰۰ mA / cm² به، عرض پالس ۵٪ فرکانس ۱KHZ از ۱Landpulse حمام حاوی ۱۳.۳ میلی مول HAuCl₄ ۶.۷ میلی مول H₂PtCl₆ و ۰.۵ mol H₂SO₄

متاسفانه، شارژ و خواص قابل برگشت این باتری لیتیم/هوا به خوبی خواص تخلیه اش نیست. خوردگی الکترود منفی لیتیم، تجزیه الکترولیت و تولید محصولات الکترود غیر قابل برگشت، دلایل ممکن است و همچنین چالش هایی در آینده می باشد. [17]

۴. نتیجه گیری

ذرات کاتالیزور PtAu آبکاری پالسی شده روی الکترودهای هوای کربن بوده و در باتری های لیتیوم /هوا جمع شده بودند .در نتیجه، آبکاری پالسی ذرات PtAu بر روی سطح الکترود هوا کربن، فعالیت کاتالیزوری برای OER و ORR دارد، که همچنین هزینه فلزات گرانبها را کاهش می دهد . فرایند آبکاری پالسی بهینه شده و ترکیب حمام برای گرفتن ذرات کاتالیست PtAu بهتر، چگالی های جریان پیک 100 میلی آمپر بر سانتی متر مربع ، عرض پالس 5٪، فرکانس پالس 1KHZ و حمام حاوی HAuCl_4 13.3 میلی مول بر لیتر ، H_2PtCl_6 6.7 میلی مول لیتر و H_2SO_4 0.5 مول بر لیتر می باشند. با استفاده از ذرات PtAu که در پارامترهای بالا نشسته، ظرفیت ویژه تخلیه باتری لیتیم /هوا به 1300mAh/gcarbon+PVDF می رسد . کار آینده در آماده سازی ذرات PtAu مورفولوژی کنترل شده برای عملکرد کاتالیزوری بهتر توسط آبکاری پالسی تمرکز خواهد کرد.



این مقاله، از سری مقالات ترجمه شده رایگان سایت ترجمه فا میباشد که با فرمت PDF در اختیار شما عزیزان قرار گرفته است. در صورت تمایل میتوانید با کلیک بر روی دکمه های زیر از سایر مقالات نیز استفاده نمایید:

✓ لیست مقالات ترجمه شده

✓ لیست مقالات ترجمه شده رایگان

✓ لیست جدیدترین مقالات انگلیسی ISI

سایت ترجمه فا؛ مرجع جدیدترین مقالات ترجمه شده از نشریات معترض خارجی